

肝硬化结节与小肝癌的临床及 MRI 诊断

郭海梅, 张学梅

The clinical manifestations and MRI diagnosis of regenerating nodules, dysplastic nodules and small hepatocellular carcinomas

GUO Hai-mei ZHANG Xue-mei

The Fourth Affiliated Hospital of China Medical University, Shenyang 110032 China

[Abstract] Objective To evaluate the value of MRI for the diagnosis and differential diagnosis of regenerating nodules(RN), dysplastic nodules(DN) and small hepatocellular carcinomas(HCC). Methods MRI features were analyzed in 120 cases of the cirrhosis of liver. All patients were examined with plain MRI, 32 of them were also examined with dynamic enhanced MRI. Results All patients were RN, 14 of them were DN and 18 of them had HCC. RN were diffuse small nodules(diameter < 1.0cm) of the liver, slightly hyperintensity or isointensity on T₁ weighted imaging and slightly hypointensity on T₂ weighted imaging. DN were nodules(diameter 1.0~3.5cm), slightly hyperintensity or isointensity on T₁ weighted imaging and isointensity on T₂ weighted imaging. HCC were nodules(diameter < 3.0cm), slightly hyperintensity or isointensity on T₁ weighted imaging and hyperintensity on T₂ weighted imaging. Dynamic contrast-enhanced appeared strong enhancement on arterial phase and slight enhancement on portal venous phase in HCC. Conclusion The majorities of RN, DN and HCC could be differentiated by the size and signal of the nodules. When DN and HCC could not be differentiated, dynamic contrast-enhanced is very valuable.

[Key words] cirrhosis of liver; regenerating nodule; dysplastic nodule; small hepatocellular carcinoma; MRI

(Modern Oncology 2006, 14(6): 0720~0722)

【摘要】 目的: 探讨MRI对肝硬化结节(再生结节、退变结节)与小肝癌的诊断及鉴别诊断价值。方法: 收集120例临床诊断为肝硬化的MRI资料, 其中32例行Gd-DTPA动态增强扫描。结果: 全部病例均见再生结节, 其中合并退变结节14例、原发小肝细胞癌18例, 再生结节为肝内弥漫的小于1.0cm结节状病灶, T₁WI呈等或略高信号、T₂WI呈略低信号影; 退变结节为直径1.0cm~3.5cm结节状病灶, T₁WI呈等或略高信号、T₂WI呈等信号影; 小肝细胞癌为直径小于3.0cm结节状病灶, T₁WI呈略低信号、T₂WI呈略高信号影。Gd-DTPA动态增强扫描见小肝癌于肝动脉期明显强化, 门静脉期强化消退。结论: 根据结节大小、信号改变MRI可区分大部分再生结节、退变结节及小肝细胞癌。Gd-DTPA动态增强扫描有助于鉴别困难的退变结节及小肝细胞癌。

【关键词】 肝硬化; 再生结节; 退变结节; 小肝癌; MRI

【中图分类号】R730.5

【文献标识码】A

【文章编号】1672-4992-(2006)06-0720-03

肝硬化是我国的常见病、多发病, 在肝硬化中有再生结节(RN)、退变结节(DN)以及小肝细胞癌(HCC)多种结节样病变。我们分析总结120例肝硬化的临床与MRI资料, 旨在利用无创的影像检出并定性诊断从良性的RN到恶性HCC的肝硬化结节性病变。

1 材料和方法

收集我院临床诊断为肝硬化120例的MRI资料, 其中男性89例, 女性31例。年龄26岁~80岁, 平均年龄52.6岁。临床表现有乏力、食欲不振、腹胀、上腹部隐痛、消瘦, 部分病人有颜面晦暗、黄疸、肝脾肿大伴有触痛, 肝功异常、AFP及B超改变。病程半月~25年。

【收稿日期】 2006-02-28

【作者单位】 中国医科大学附属第四医院, 辽宁 沈阳 110032

【作者简介】 郭海梅(1971-), 女, 辽宁沈阳人, 医师, 学士, 主要从事肝炎、肝硬化、肝癌的治疗及研究。

采用Siemens1.0T超导磁共振仪, 体部线圈, 用SE与TSE行肝脏横断面与冠状面T₁WI及T₂WI扫描, 层厚10mm。其中32例用屏气横断面梯度回波快速小角度激发二维T₁WI(FLASH2D)行动态增强扫描, 用Gd-DTPA 0.1mmol/kg足背静脉注射。

2 结果

全部病例MRI均见肝脏内弥漫性细小颗粒状结节, 结节直径在0.3cm~1.0cm, T₁WI呈略高或等信号, T₂WI呈略低信号, 其周围见有稍高信号的间隔将结节分隔。其中14例在弥漫性细小颗粒状结节背景中混杂有直径在1.0cm~3.5cm的大结节, 大结节T₁WI呈略高或等信号, T₂WI呈等信号。还有18例在弥漫性结节背景中混杂有直径小于3.0cm的略低信号, T₂WI呈略高信号结节状病灶影。对上述32例行动态增强扫描, 其中14例T₂WI等或略低信号的小结节在动态增强扫描中均与肝组织同步强化和消退(见图1, 2), 此14例病人经穿刺证实为退变结节。其余18例

T_2 WI略高信号的病灶于肝动脉期明显强化(见图3、4),门静脉期明显减退,此18例病人经手术或介入穿刺病理检查

证实为肝细胞癌。

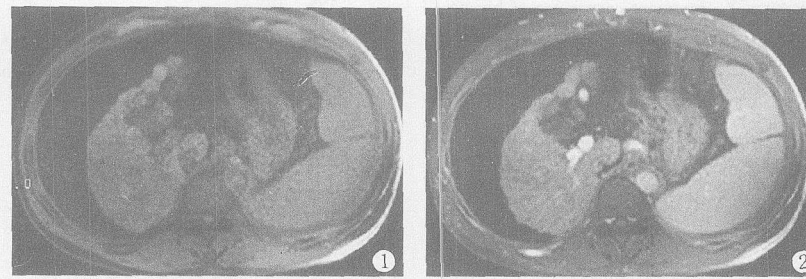


图 1、2 肝硬化结节

图1为横断面梯度回波成像,肝右叶后段小结节,呈略高信号。图2为梯度回波横断面增强扫描,肝右叶结节显示不明显,与肝脏同步强化。

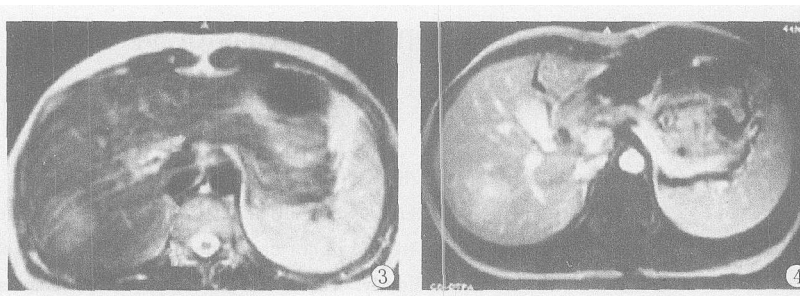


图 3、4 原发性肝癌

图3为横断面T₂WI显示肝右叶结节呈高信号。图4为横断面T₁WI增强扫描,显示肝右叶结节较明显强化。

3 讨论

肝硬化是常见的慢性进行性肝病,由一种或多种病因长期反复作用造成的弥漫性肝脏损害、广泛的肝细胞变性坏死、再生结节形成,使肝脏逐渐变形、变硬而发展为肝硬化。根据肝内弥漫性结节的大小将肝硬化分为小结节性、大小结节混合性和大结节性。一般将小于10mm的结节称为RN,大于10mm结节称为DN。国内外很多学者研究表明肝硬化基础上的HCC的发生是从RN经过DN演变而来^[1~4]。

肝硬化在临幊上有多系统受累,以肝功损害和门脉高压为主要表现,晚期常出现消化道出血、肝性脑病、肝肾综合征、继发感染等严重并发症。临幊分为静止期和活动期,静止期症状较轻,缺乏特异性,可有乏力、食欲不振、恶心、腹胀、上腹部隐痛及腹泻等,肝脾轻度肿大,肝功检查正常或轻度异常,经休息、治疗后可缓解。活动期可有全身多系统症状,消瘦、精神不振、重者卧床不起、面色晦暗、可有不规则发热、厌食、恶心呕吐、少数有中度或重度黄疸、出血倾向、内分泌失调、门脉高压等临幊表现。由于病因和病理类型不同其起病方式与临幊表现并不完全一样,如小结节性肝硬化起病多隐匿,进展较慢,在形成肝硬化数年或更长时间可无明显症状。而大结节性肝硬化起病较急,进展较快,肝功损害较严重,早期就可出现中度以上黄疸,最主要的病理变化是不可逆的。小肝癌的临幊表现为逐渐消瘦、乏力、食欲不振、不规则发热、持续性右上腹疼痛、血性腹水,部分病人可出现黄疸。但在临幊上,肝硬化与肝细胞癌的表现并无特征性,有时难以鉴别,而这对于患者的治疗与预后又是非常重要的,影像学检查越来越受到重视。

RN和DN结节在MRIT₁WI呈等或略高信号,T₂WI呈低或等信号影,其周围见有稍高信号的间隔将结节分隔。HCC结节呈T₁WI低、等或高信号,T₂WI略高信号。从RN到DN再到HCCMRI的T₂WI信号由低变高。T₂WI略高信号是小肝癌特征性改变。T₂WI略低或等信号是RN和DN的特征性表现。RN和DN在病理上的区别是DN含有异形的肝细胞故又被称为肝癌癌前病变。RN和DN病理结构中均有枯否细胞,而肝硬化中含铁血黄素主要沉积于枯否细胞。含铁血黄素可使MRI的T₂WI信号减低,故RN及DN在T₂WI均呈低信号^[1~5],另外RN和DN结节周围纤维间隔在T₂WI呈高信号也使结节呈相对低信号^[1]。HCC缺乏枯否细胞^[6],故T₂WI信号增高。

正常肝组织血供25%来源于肝动脉,75%来源于门静脉。RN与DN在病理上均有完整的包括门静脉、肝动脉和胆管在内的门管结构,供血来源主要为门静脉,HCC血供主要来源于肝动脉和异常动脉供血,门脉血供明显减少^[7]。本组动态增强MRI显示RN及DN与正常肝组织同步强化和消退,而HCC于肝动脉期明显强化,门脉期强化明显消退,进一步证实了上述研究结论。HCC与RN及DN不同的强化方式也成为它们鉴别的重要依据。随着MRI扫描技术的不断发展以及肝脏MR特异性对比剂的应用,MRI必将进一步提高对RN、DN及HCC的定性诊断率。

参考文献】

- [1] 陈丽英,孟令平.肝硬变的MRI诊断[J].临床医学影杂志,1995,6(1):2~4
- [2] 叶惠义,高元桂,董宝玮,等.肝脏不典型腺瘤样增生结节综合

- 影像诊断 [J]. 中华放射学杂志, 2000, 34(3): 187~190.
- [3] Takayama T, Makuuchi M, Hirohashi S, et al. Malignant transformation of adenomatous hyperplasia to hepatocellular carcinoma [J]. Lancet, 1990, 336: 1150~1153.
- [4] Kajikawa T, Terada T, Nakanuma Y. Frequent occurrence of hepatocellular carcinoma in cirrhotic livers after surgical resection of a typical adenomatous hyperplasia (borderline hepatocellular lesion): a follow-up study [J]. Am J Gastroenterol, 1994, 89: 903~908.
- [5] Ohshima K, Itai Y, Ohtomo Y, et al. Regenerating nodules of cir-

rhosis: Imaging with pathologic correlation [J]. AJR, 1990, 154: 505~507.

- [6] 孟令平, 陈丽英, 刘东风, 等. 肝细胞癌和发育不良结节的MRI与病理对照研究 [J]. 中国医学计算机成像杂志, 1997, 3(3): 175~178.
- [7] Matsui O, Kadoya M, Kamoyama T, et al. Benign and malignant nodules in cirrhotic livers: distinction based on blood supply [J]. Radiology, 1991, 178: 493~497.

原发性胆囊癌外科治疗(附34例分析)

史和平¹, 张昌云¹, 姚建龙¹, 王保全¹, 董山潮¹, 侯峰强¹, 吕毅²

Surgical treatment of gallbladder cancer clinical analysis of 34 cases

SHI He-ping¹, ZHANG Chang-yun¹, YAO Jian-long¹, WANG Bao-quan¹, DONG Shan-chao¹, HOU Feng-qiang¹, LV Yi²

Department of General Surgery Weinan Central Hospital, Weinan 714000, China

【Abstract】 Objective To evaluate the clinical characteristics of gallbladder cancer and to improve the therapeutic result. **Methods** Thirty four cases of gallbladder cancer treated in our department were retrospectively analyzed in recent 8 years. **Results** The higher incidence was in the elderly. There were 12 males and 22 females, with M:F=1:1.83, mean age 64.61 years. 23 patients (65.71%) were associated with gallstones. 23 (82.14%) cases were diagnosed by preoperative B-ultrasonography. All cases underwent laparotomy with a resection rate of 73.53% and 10 cases (40%) received radical resection. Postoperative 1-, 3-, 5-year survival rates were 58.82%, 8.82% and 2.94%. **Conclusion** B-ultrasonography and CT scan are common diagnostic methods. High risk population should be observed in time. The type of operation and the result of the treatment are dependent on the Nevin's stage and pathology.

【Key words】 gallbladder cancer gallstones diagnosis treatment

(Modern Oncology 2006, 14(6): 0722~0723)

【摘要】 目的: 探讨胆囊癌的临床特点和提高疗效的途径。方法: 对我院8年来收治的34例胆囊癌患者临床资料进行分析。结果: 胆囊癌多见于中老年人, 平均年龄64.61岁, 34例患者中男12例, 女22例, 男女之比为1:1.83, 胆囊癌合并胆囊结石者占65.71%, 术前B超诊断符合率为82.14%。手术切除率为73.53%, 根治性切除10例, 根治率40%。1、3、5年生存率分别为58.82%、8.82%、2.94%。结论: B超、CT是常用的诊断方法, 对易患胆囊癌高危人群应进行定期观察。手术方式及治疗效果取决于胆囊癌的分期。

【关键词】 胆囊癌; 胆结石; 诊断; 治疗

【中图分类号】R735.8

【文献标识码】A

【文章编号】1672-4992-(2006)06-0722-02

胆囊癌为预后不良的消化道恶性肿瘤之一, 采取预防措施或及早发现病变并进行手术治疗, 是降低其死亡率的关键。我们回顾性分析了1996年6月~2004年6月本科收治的34例胆囊癌患者的临床资料, 现报道如下。

1 资料与方法

【收稿日期】 2005-10-25

【作者单位】 1渭南市中心医院普外科, 陕西 渭南 714000

2西安交通大学第一医院肝胆外科, 陕西 西安 710061

【作者简介】 史和平(1966-), 男, 陕西渭南人, 主治医师, 主要从事普外科工作。

© 1994-2011 China Academic Journal Electronic Publishing House. All rights reserved. http://www.cnki.net

1.1 一般资料

本组34例, 男12例, 女22例, 年龄25岁~89岁, 平均64.61岁, 合并胆囊结石者23例(64.61%)。

1.2 临床表现

入院时首发症状为右上腹部疼痛者33例(94.28%), 右上腹部包块14例(41.18%), 黄疸8例(23.52%), 消瘦7例(20.58%), 发热6例(17.64%), 无症状者1例。

1.3 影像学检查

本组28例行B超检查, 诊断符合率23/28(82.14%), 23例行CT检查, 诊断符合率18/23(78.26%)。

1.4 手术方式